



ΑΡΙΣΤΟΤΕΛΕΙΟ ΠΑΝΕΠΙΣΤΗΜΙΟ ΘΕΣΣΑΛΟΝΙΚΗΣ

Σχολή Ηλεκτρολόγων Μηχανικών και Μηχανικών
Υπολογιστών

« 2^η εργασία »

Εξαμηνιαία Εργασία στο μάθημα

«Μοντελοποίηση και Προσομοίωση Δυναμικών Συστημάτων»

της φοιτήτριας

Κελέση Ελπίδας, ΑΕΜ : 9410

Email : elpidakelesi@ece.auth.gr

Διδάσκοντες : Καθ. Γ. Ροβιθάκης, Γ. Κανάκης

Υπεύθυνος εργασίας : Καθ. Γ. Ροβιθάκης

Θεσσαλονίκη, Εαρινό εξάμηνο 2020-2021

Πίνακας περιεχομένων

2^η Εργαστηριακή Άσκηση.....	Σελ 3
1^ο Θέμα	Σελ 3
2^ο Θέμα	Σελ 9
3^ο Θέμα	Σελ 18

2^η Εργαστηριακή Άσκηση

Στη δεύτερη εργαστηριακή άσκηση θέλουμε να εκτιμήσουμε on line τις άγνωστες παραμέτρους με τη μέθοδο της κλίσης και με τη μέθοδο Lyapunov, έχοντας το σύστημα :

$$\dot{x} = -ax + bu, \quad x(0) = 0$$

x = κατάσταση του συστήματος

$u = 5\sin(3t)$ είναι η είσοδος του συστήματος

$a = 2$, $b = 1$ είναι οι σταθερές παράμετροι που θέλουμε να εκτιμήσουμε on line

1^ο Θέμα

Στο 1^ο θέμα θέλουμε να εκτιμήσουμε τις άγνωστες παραμέτρους με τη μέθοδο κλίσης. Επομένως αρχικά θα κάνουμε έναν μετασχηματισμό στο σύστημά μας ώστε να έρθει στην γραμμικά παραμετροποιημένη μορφή : $x = \theta^* \varphi$.

Οπότε μέσω πράξεων έχουμε :

$$\begin{aligned}\dot{x} &= -ax + bu = -ax + bu + a_\mu x - a_\mu x \Rightarrow \\ a_\mu x + \dot{x} &= -ax + a_\mu x + bu \Rightarrow \\ a_\mu x + \dot{x} &= (a_\mu - a)x + bu\end{aligned}$$

Συνεχίζοντας με Μ/Σ Laplace, μετά από στοιχειώδεις πράξεις έχουμε :

$$\begin{aligned}x &= \frac{a_\mu - a}{s + a_\mu} x + \frac{b}{s + a_\mu} u \Rightarrow \\ x &= [a_\mu - a \quad b] \frac{1}{s + a_\mu} \begin{bmatrix} x \\ u \end{bmatrix} \Rightarrow \\ x &= \theta^* \varphi\end{aligned}$$

$$\theta^* = \begin{cases} \theta_1 = a_\mu - a \\ \theta_2 = b \end{cases}$$

Για να εφαρμόσουμε τη μέθοδο κλίσης θα πρέπει η είσοδος u ($y = \theta^* u$) να είναι φραγμένη, δηλαδή το φ να είναι φραγμένο (σύμφωνα με το μετασχηματισμό που κάναμε), το οποίο είναι προφανές μετά από στοιχειώδεις πράξεις.

Μετά ορίζουμε την εκτίμηση \hat{x} για την έξοδο x του πραγματικού συστήματος και την εκτίμηση $\hat{\theta}$ για το θ^* , (σύμφωνα με αυτό ξέρουμε και ότι οι εκτιμήσεις των a και b θα είναι \hat{a} και \hat{b} αντίστοιχα) οπότε έχουμε :

$$\hat{x} = \hat{\theta} \varphi$$

Έτσι το σφάλμα αναγνώρισης που σχηματίζεται είναι :

$$e = x - \hat{x} = x - \hat{\theta} \varphi = \theta^* \varphi - \hat{\theta} \varphi = (\theta^* - \hat{\theta}) \varphi$$

Σύμφωνα και με τη θεωρία αν ορίσουμε σαν παραμετρικό σφάλμα το :

$$\tilde{\theta} = -(\theta^* - \hat{\theta})$$

Τότε μετά από αντικατάσταση της σχέσης του παραμετρικού σφάλματος στο σφάλμα αναγνώρισης θα έχω :

$$e = -\tilde{\theta} \varphi$$

Η μέθοδος κλίσης στηρίζεται για την εύρεση της αναδρομικής εκτίμησης $\hat{\theta}$ του θ^* , στην ελαχιστοποίηση ως προς $\hat{\theta}$ κατάλληλα ορισμένης συνάρτησης κόστους του e . Μια τυπική συνάρτηση κόστους είναι :

$$K(\hat{\theta}) = \frac{e^2}{2} = \frac{(x - \hat{\theta} \varphi)^2}{2}$$

Θέλουμε να βρούμε το $\hat{\theta}$ στο οποίο ελαχιστοποιείται η συνάρτηση κόστους και άρα και το σφάλμα.

Η $K(\hat{\theta})$ όμως όπως ορίστηκε είναι κυρτή για κάθε $t > 0$, οπότε κάθε τοπικό ελάχιστό της θα είναι και ολικό και θα ικανοποιεί την εξίσωση :

$$\nabla K(\hat{\theta})|_{\hat{\theta} = \theta_*} = 0$$

Οπότε προκύπτει :

$$\nabla K(\hat{\theta}) = -(x - \hat{\theta} \varphi) \varphi$$

Σύμφωνα με τη μέθοδο κλίσης :

$$\dot{\hat{\theta}} = -\gamma \nabla K(\hat{\theta}) = \gamma (x - \hat{\theta} \varphi) \varphi = \gamma e \varphi, \quad \hat{\theta}(0) = \theta_o$$

Όπου $\gamma > 0$ μια σταθερά και $\hat{\theta}(0)$ η αρχική τιμή του $\hat{\theta}$.

Πρακτικά οι διαφορικές εξισώσεις που θα επιλυθούν είναι :

$$\dot{\hat{\theta}} = \gamma e \varphi = \begin{cases} \dot{\hat{\theta}}_1 = \gamma e \varphi_1 \\ \dot{\hat{\theta}}_2 = \gamma e \varphi_2 \end{cases}, \quad \varphi = \begin{cases} \varphi_1 = \frac{1}{s+a_\mu} x \\ \varphi_2 = \frac{1}{s+a_\mu} u \end{cases} \quad \text{και} \quad \dot{\varphi} = \begin{cases} -a_\mu \varphi_1 + x \\ -a_\mu \varphi_2 + u \end{cases}$$

Τα αποτελέσματα που προκύπτουν δεδομένου ότι είχαμε μηδενικές αρχικές τιμές για τις παραμέτρους φ_1 , φ_2 και θ_1, θ_2 και ότι :

$$\text{step} = 0.01\text{s}, \quad \gamma = 50 \quad \text{και} \quad a_\mu = 3$$

Τα σφάλματα μειώνονται συνεχώς, πιο συγκεκριμένα ισχύουν τα εξής για τις παραπάνω παραμέτρους:

- $|\text{error}(x_{\text{real}} - x_{\text{estimated}})| < 10^{-4}$ για κάθε $t > 2.02\text{s}$
- $|\text{error}(a_{\text{real}} - a_{\text{estimated}})| < 10^{-3}$ για κάθε $t > 2.87\text{s}$
- $|\text{error}(b_{\text{ral}} - b_{\text{estimated}})| < 10^{-3}$ για κάθε $t > 1.65\text{s}$

Επίσης προκύπτουν τα εξής γραφήματα :

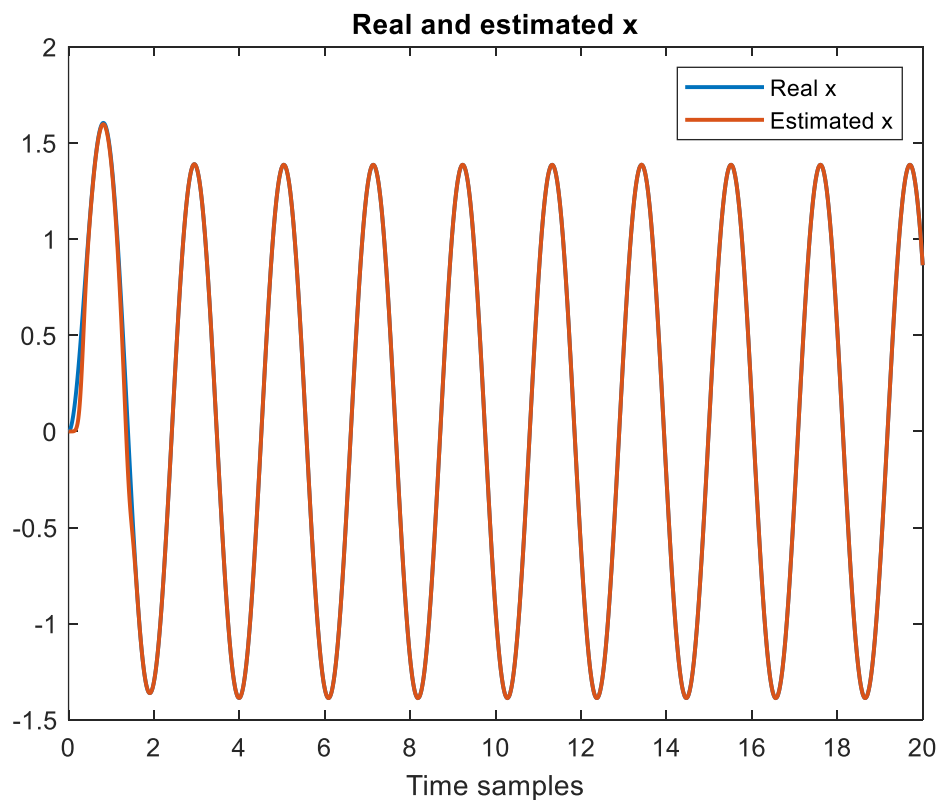


Figure 1: Η πραγματική και η εκτιμώμενη τιμή της εξόδου

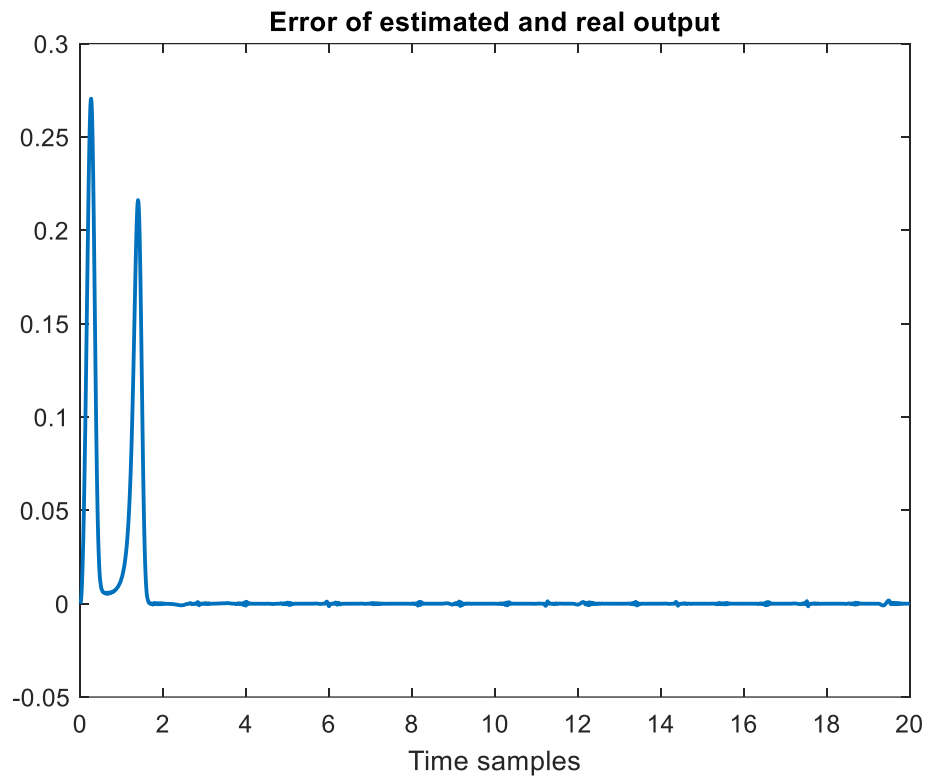


Figure 2: Η απόκλιση ανάμεσα στην πραγματική και στην εκτιμώμενη τιμή της εξόδου

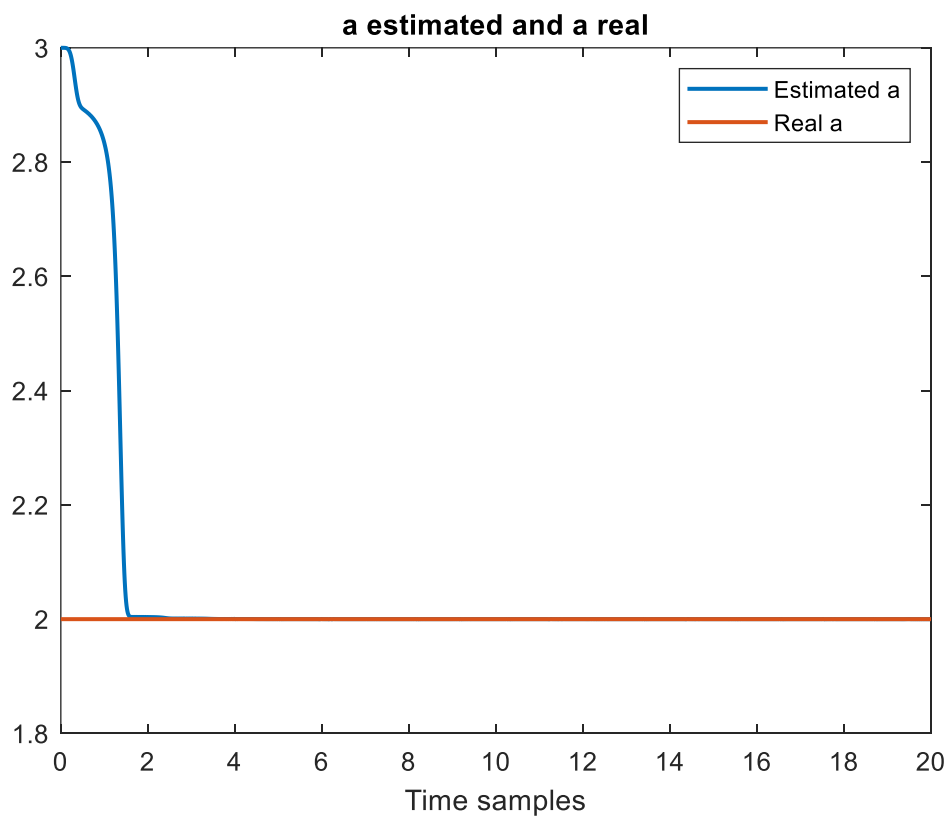


Figure 3: Η πραγματική και η εκτιμώμενη τιμή της παραμέτρου a

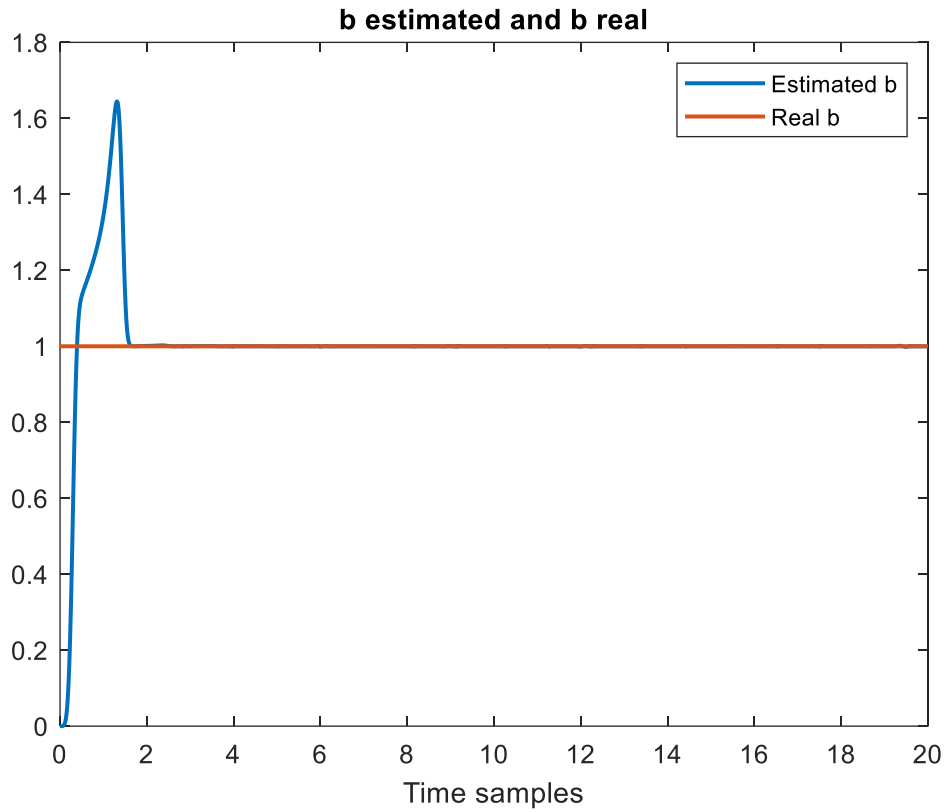
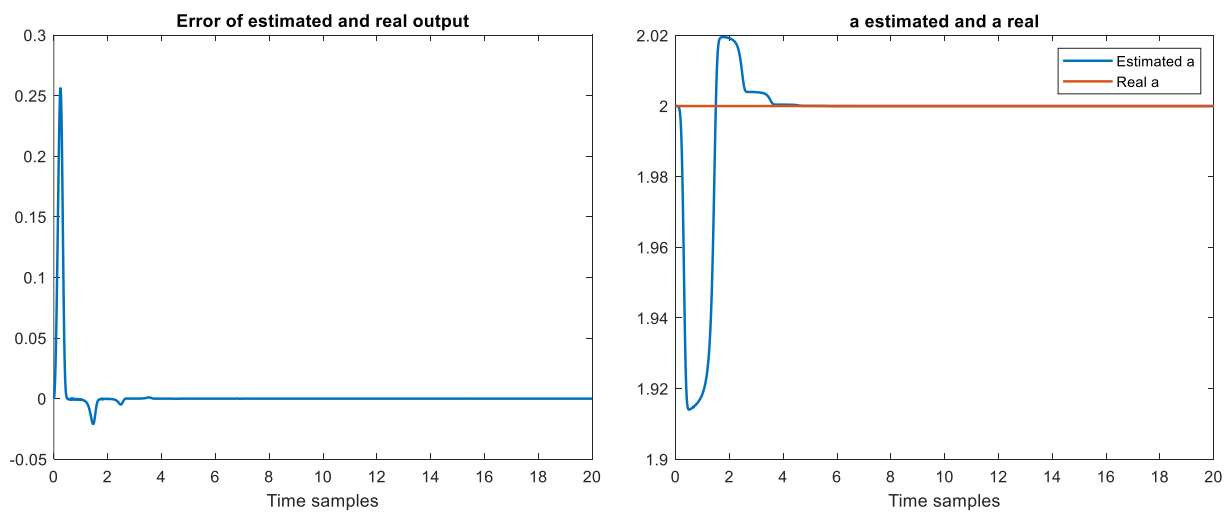
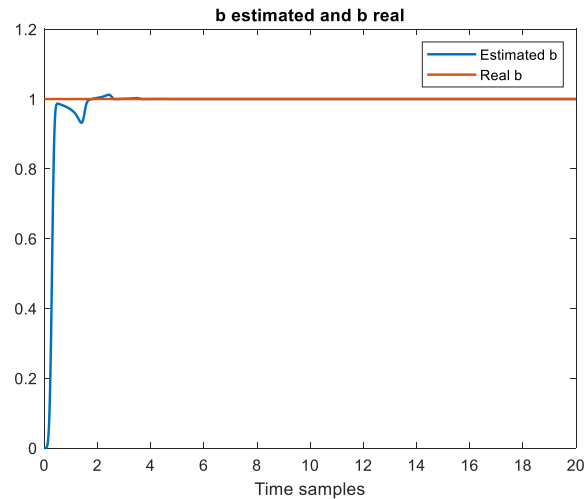


Figure 4: Η πραγματική και η εκτιμώμενη τιμή της παραμέτρου b

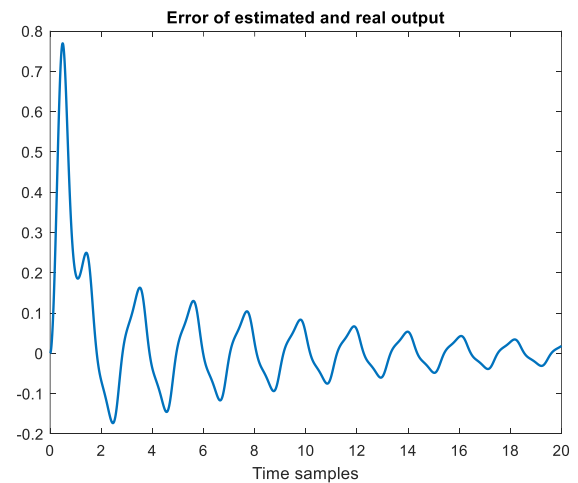
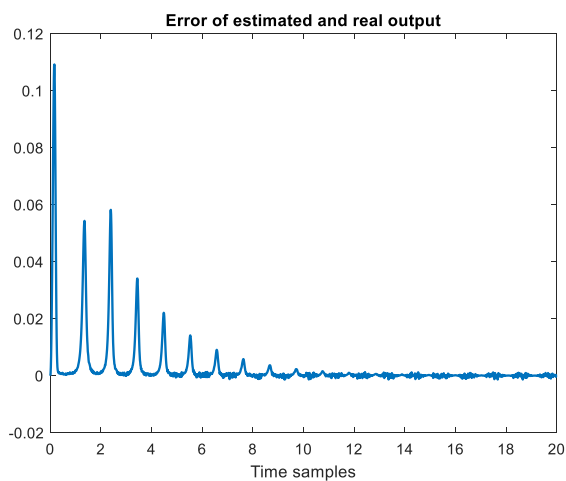
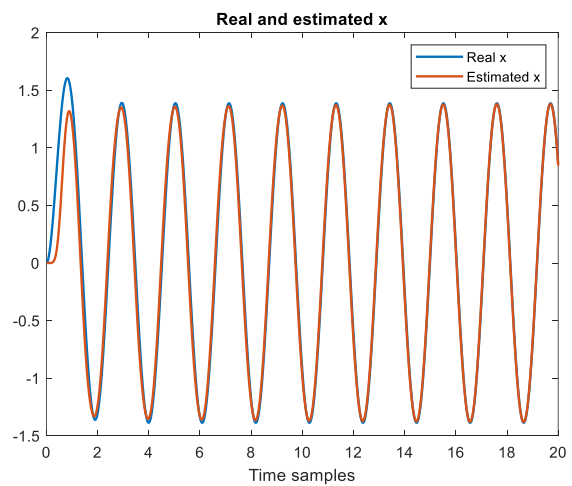
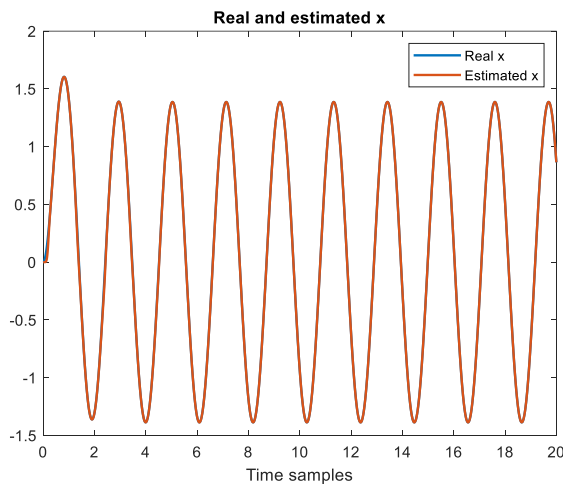
Σύμφωνα με τα παραπάνω γραφήματα και μετά από πολλές δοκιμές κατέληξα στα εξής :

- Όσον αφορά το a_μ διαπιστώσαμε ότι όταν τείνει στο 2 που είναι και η πραγματική τιμή του a τότε όπως θα ήταν και λογικό είχαμε την πιο γρήγορη απόκριση όλων των σφαλμάτων στο 0. Παρακάτω παραθέτω τα σφάλματα για $a_\mu = 2$:





- Όταν το γ ήταν πολύ μεγάλο έχουμε πιο γρήγορη σύγκλιση, ενώ όταν το γ ήταν μικρό λίγο πιο αργή, με το σφάλμα της πραγματικής με την εκτιμώμενη απόκριση να αργεί πολύ περισσότερο να γίνει 0. Ωστόσο με τόσο μεγάλο γ είχαμε αρκετά αργή σύγκλιση των a και b στις πραγματικές τιμές τους. (αριστερά $\gamma = 500$ δεξιά για $\gamma = 3$) :



2^ο Θέμα

Στο 2^ο θέμα θέλουμε να εκτιμήσουμε τις παραμέτρους a και b με τη μέθοδο σχεδίασης Lyapunov μέσω παράλληλης και μικτής δομής. Επίσης θέλουμε να τις εκτιμήσουμε όταν η απόκριση x του συστήματος έχει θόρυβο :

$$\eta(t) = \eta_0 \sin(2\pi f t), \quad \eta_0 = 0.15 \text{ και } f = 20$$

Το σύστημά μας στην παράλληλη δομή περιγράφεται από τη διαφορική εξίσωση της μορφής :

$$\dot{\hat{x}} = -\hat{a} \hat{x} + \hat{b} u, \quad \hat{x}(0) = \hat{x}_0$$

Αν αναλύσουμε τη μέθοδο κατά Lyapunov, δεδομένου ότι $e = x - \hat{x}$, $\tilde{a} = \hat{a} - a$ και $\tilde{b} = \hat{b} - b$, η διαφορική εξίσωση του σφάλματος αναγνώρισης όταν χρησιμοποιείται η παράλληλη δομή είναι:

$$\dot{e} = -a * e + \tilde{a} \hat{x} - \tilde{b} u$$

Επίσης επειδή έχουμε ομοιόμορφα φραγμένη είσοδο, χρησιμοποιώντας τη συνάρτηση Lyapunov :

$$V = \frac{1}{2} e^2 + \frac{1}{2} \tilde{a}^2 + \frac{1}{2} \tilde{b}^2$$

Μετά από πράξεις καταλήγουμε στις εξής διαφορικές εξισώσεις για τις εκτιμήσεις των παραμέτρων a και b :

$$\dot{\hat{a}} = -\gamma_1 e \hat{x} \quad \text{και} \quad \dot{\hat{b}} = \gamma_2 e u$$

Αντίστοιχα για τη μικτή δομή ισχύουν τα εξής :

Το σύστημά μας στην μικτή δομή περιγράφεται από τη διαφορική εξίσωση της μορφής :

$$\dot{\hat{x}} = -\hat{a} \hat{x} + \hat{b} u + \theta_m (x - \hat{x}), \quad \hat{x}(0) = \hat{x}_0$$

Αν αναλύσουμε τη μέθοδο κατά Lyapunov, δεδομένου ότι $e = x - \hat{x}$, $\tilde{a} = \hat{a} - a$ και $\tilde{b} = \hat{b} - b$, η διαφορική εξίσωση του σφάλματος αναγνώρισης όταν χρησιμοποιείται η μικτή δομή είναι :

$$\dot{e} = \theta_m e + \tilde{a} \hat{x} - \tilde{b} u$$

Επίσης επειδή έχουμε ομοιόμορφα φραγμένη είσοδο, χρησιμοποιώντας τη συνάρτηση Lyapunov :

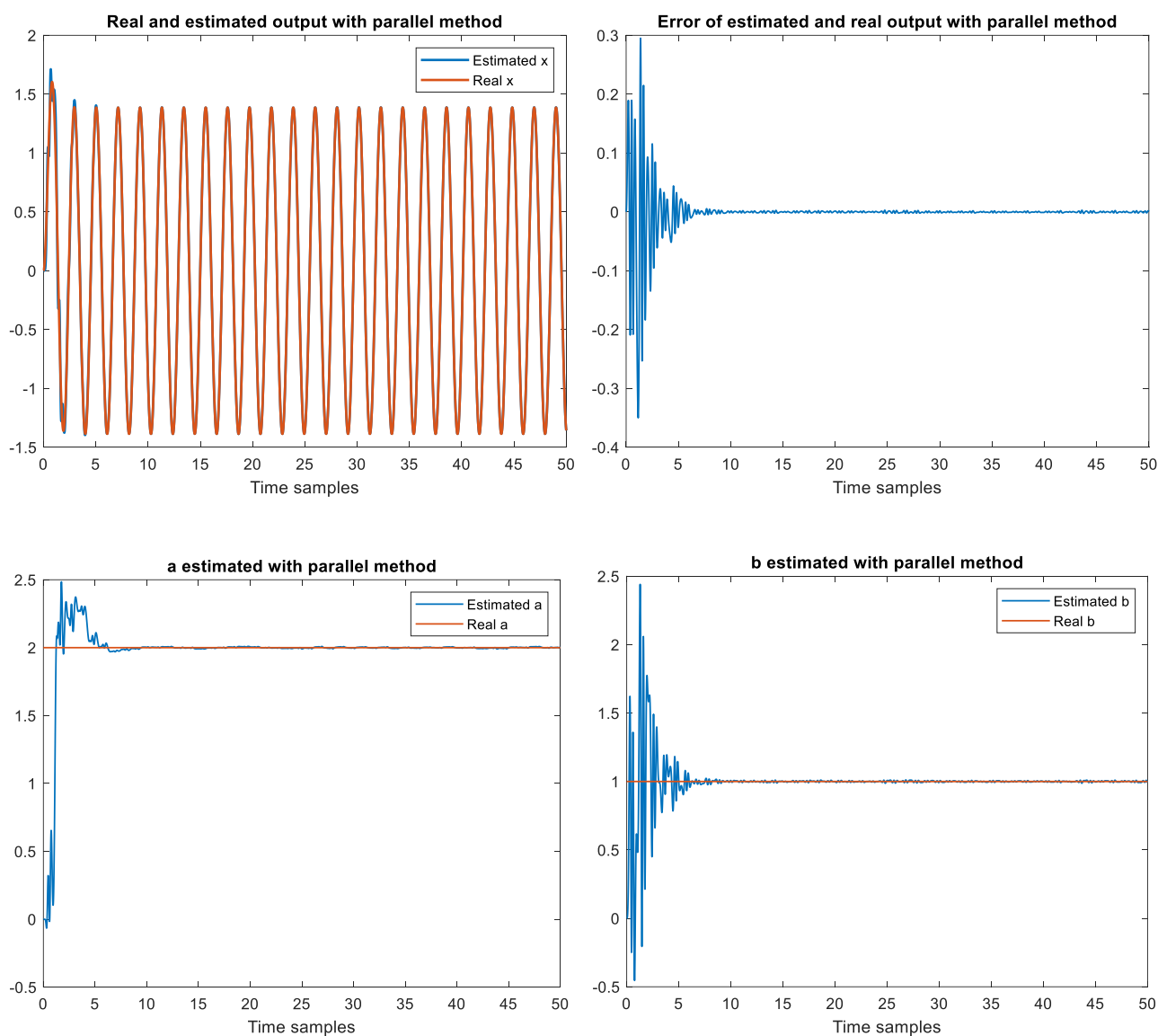
$$V = \frac{1}{2} e^2 + \frac{1}{2} \tilde{a}^2 + \frac{1}{2} \tilde{b}^2$$

Μετά από πράξεις καταλήγουμε στις εξής διαφορικές εξισώσεις για τις εκτιμήσεις των παραμέτρων a και b :

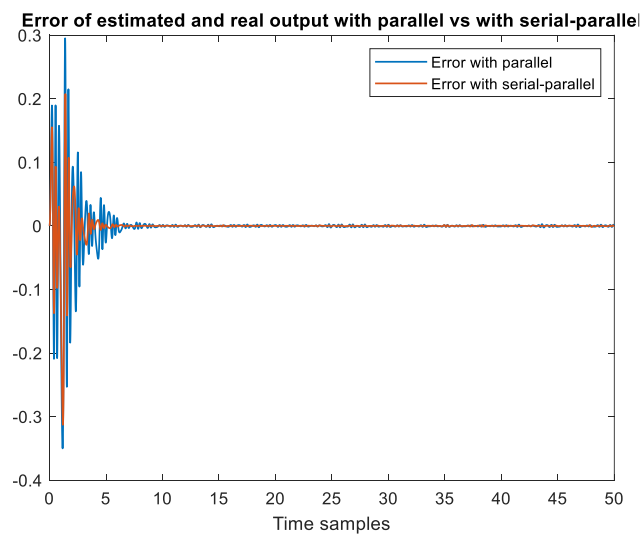
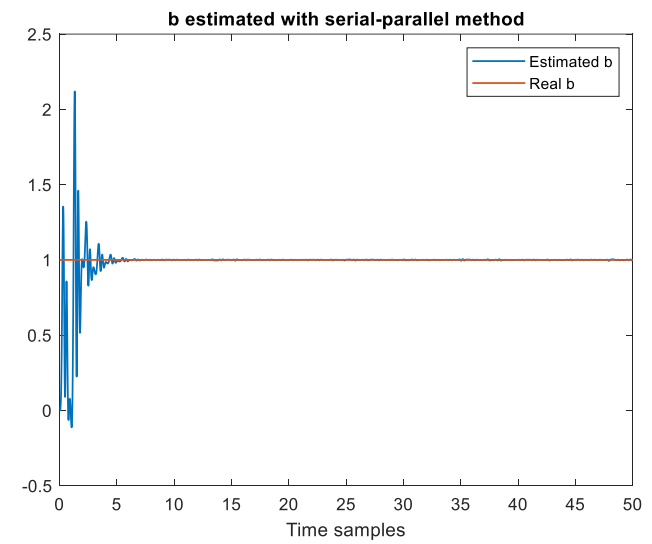
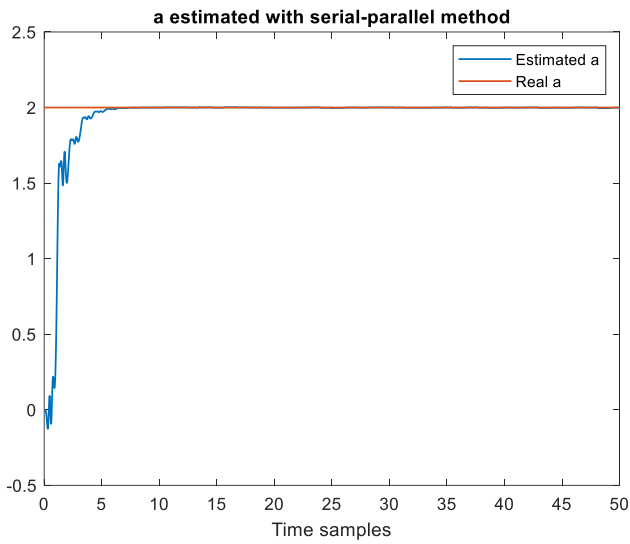
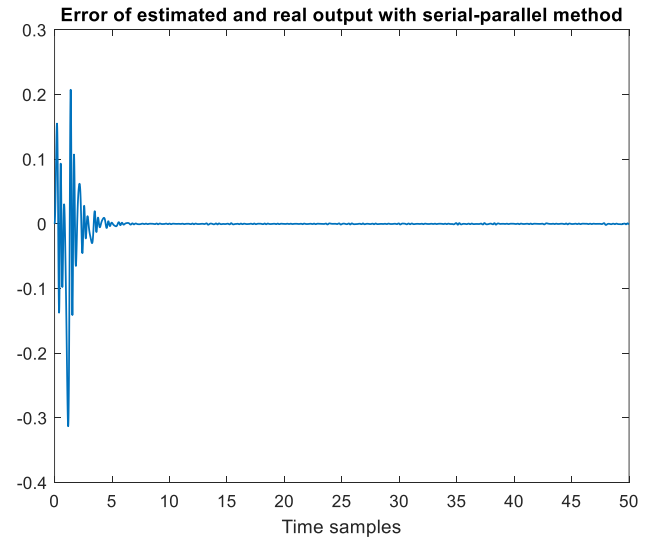
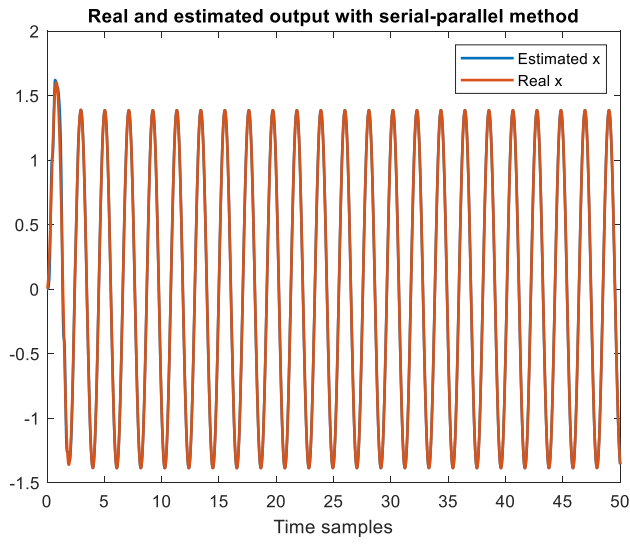
$$\dot{\hat{a}} = -\gamma_1 e \hat{x} \quad \text{και} \quad \dot{\hat{b}} = \gamma_2 e u$$

Τα γραφήματα που προκύπτουν είναι τα εξής : (η επιλογή των $\gamma_1, \gamma_2, \theta_m$ έγινε μετά από δοκιμές)

Για $\gamma_1 = \gamma_2 = 20$, για την παράλληλη δομή:

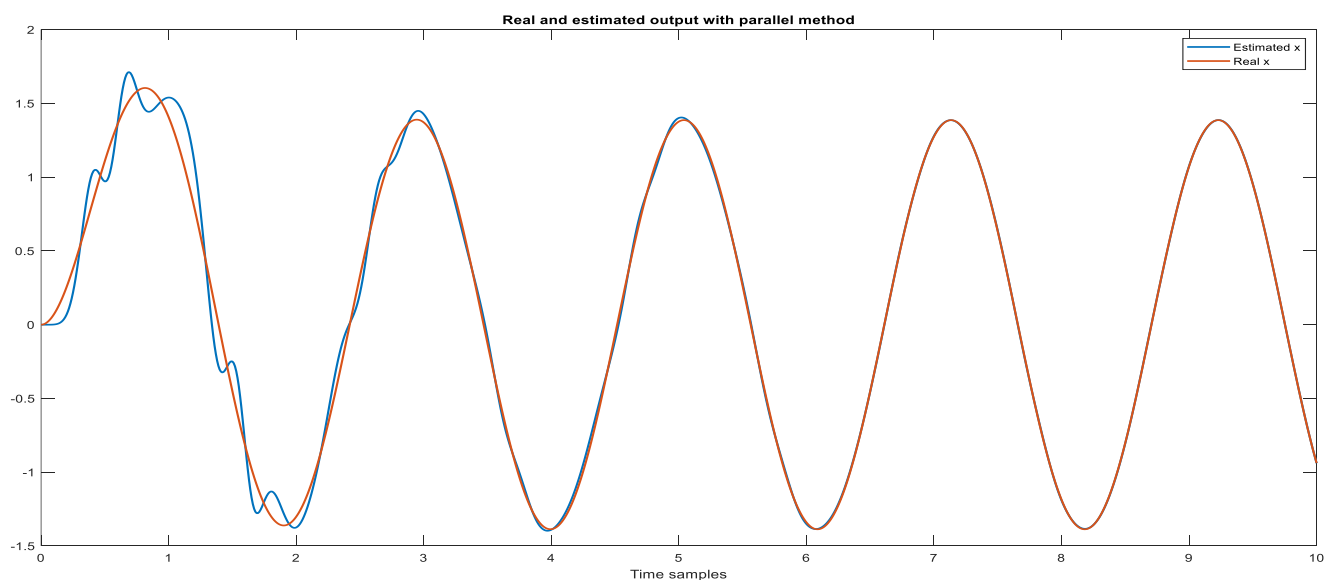
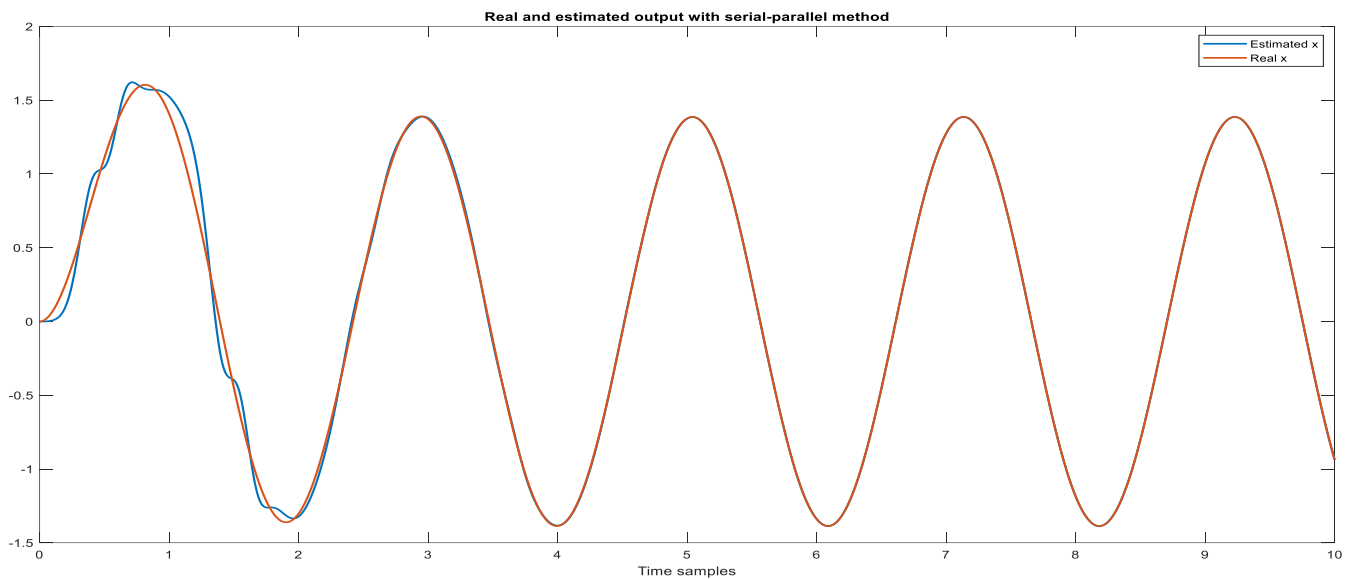


Για $\gamma_1 = \gamma_2 = 20$, $\theta_m = 3$, για την μικτή δομή:



Συμπεράσματα:

- ✓ Παρατηρούμε ότι και στην παράλληλη και στην μικτή δομή είτε οι παράμετροι a και b , είτε το error της απόκρισης συγκλίνουν σχετικά γρήγορα στις πραγματικές τους τιμές και στο 0 αντίστοιχα.
- ✓ Ωστόσο η μικτή δομή είναι ελαφρώς ταχύτερη από την παράλληλη. Κάτι το οποίο μπορεί να φανεί και από τη μεγέθυνση δύο από των παραπάνω γραφημάτων πιο ξεκάθαρα:

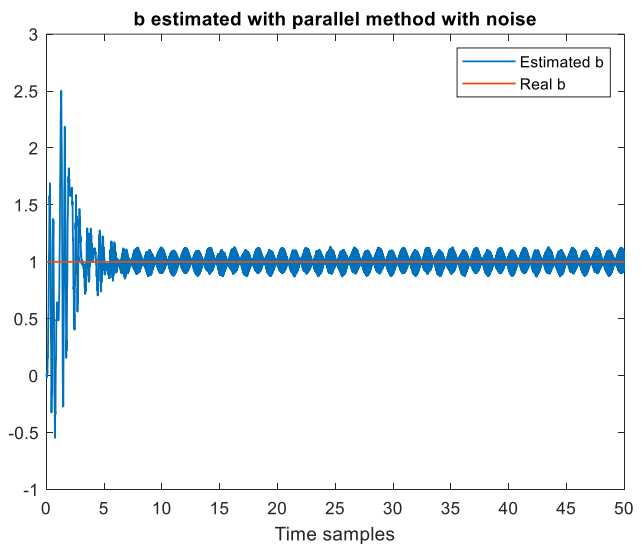
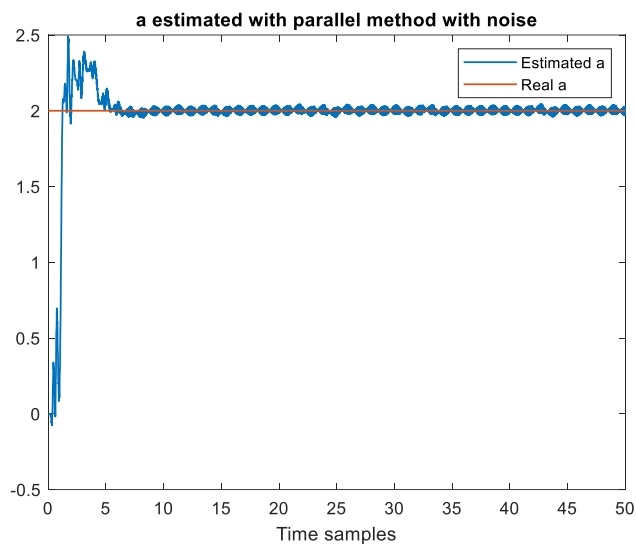
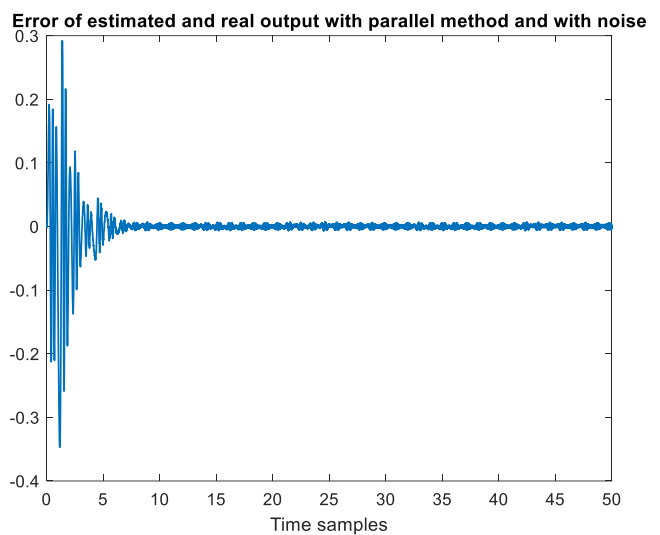
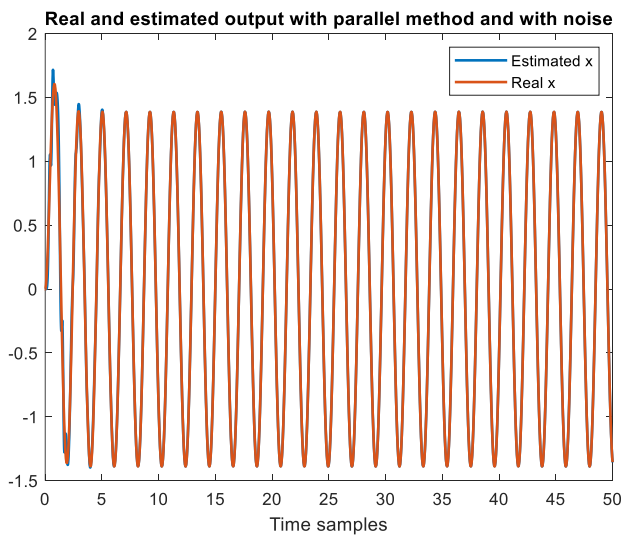


Πράγματι, βλέπουμε ότι στην μικτή δομή η πραγματική με την εκτιμώμενη απόκριση συγκλίνει στα 3s περίπου ενώ στην παράλληλη στα 5s.

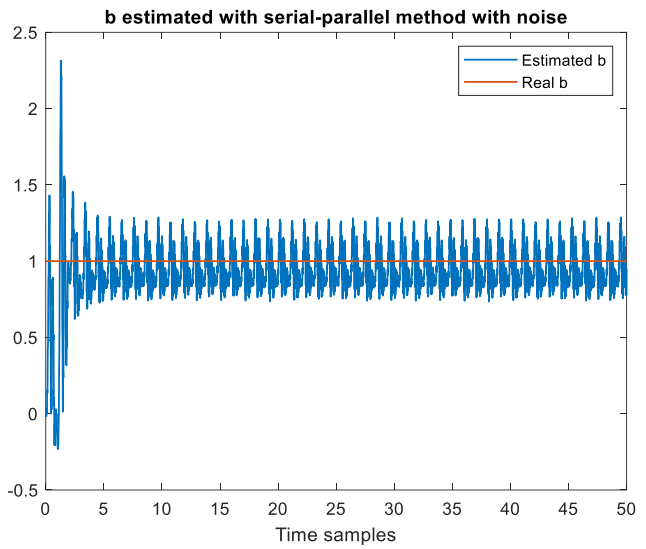
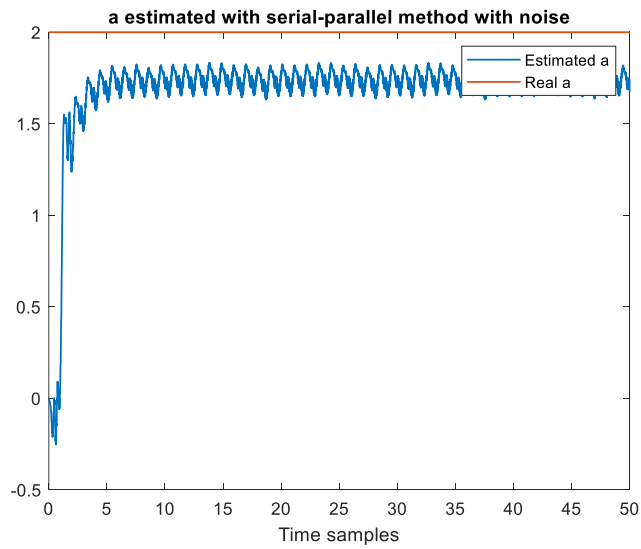
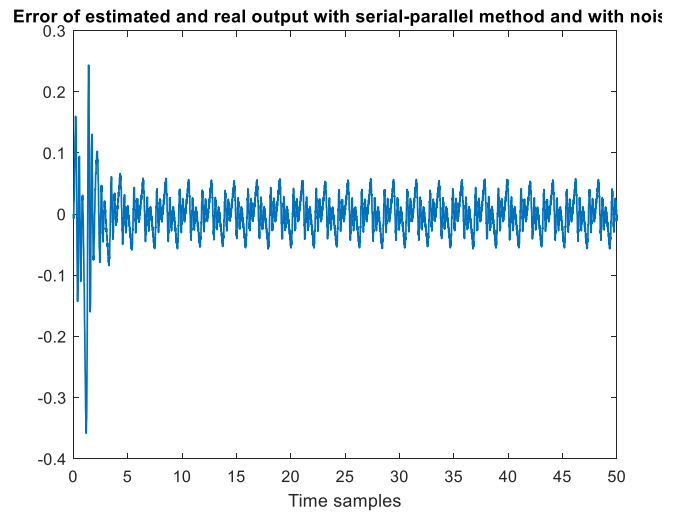
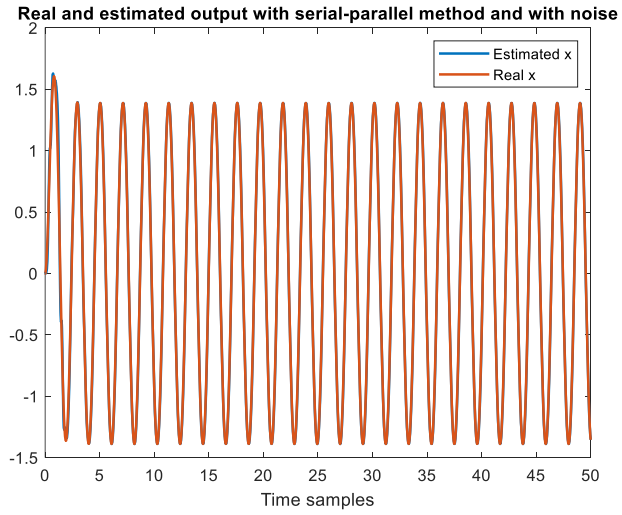
Προσομοίωση λειτουργίας με θόρυβο :

Θεωρήσαμε αρχικά ότι $f = 20$ και $\eta_0 = 0.15$. Έτσι προέκυψαν τα εξής γραφήματα :

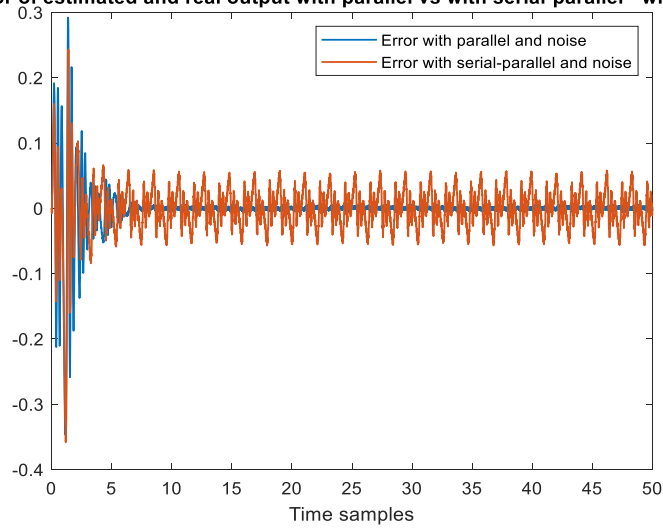
Για $\gamma_1 = \gamma_2 = 20$, για την παράλληλη δομή:



Για $\gamma_1 = \gamma_2 = 20$, $\theta_m = 3$, για την μικτή δομή:

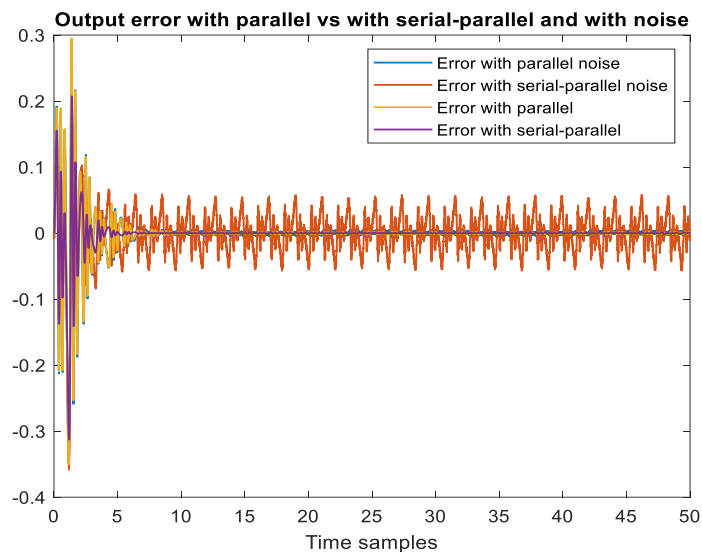


Error of estimated and real output with parallel vs with serial-parallel - with noise



Συμπεράσματα:

- ✓ Είναι προφανές, ειδικά από το τελευταίο διάγραμμα που γίνεται σύγκριση των σφαλμάτων της απόκρισης, ότι η παράλληλη δομή επηρεάζεται σε πολύ μικρότερο βαθμό από την ύπαρξη θορύβου, συγκριτικά με τη μεικτή δομή.
- ✓ Αν συγκρίνουμε όλα τα σφάλματα μαζί (όπως φαίνεται στο παρακάτω γράφημα) επιβεβαιώνεται πως ο θόρυβος καταστρέφει σε ένα βαθμό τις μετρήσεις κυρίως στην μικτή μέθοδο που οι ταλαντώσεις παραμένουν σημαντικές για μεγάλο χρονικό διάστημα.



- ✓ Στην παράλληλη δομή, οι παράμετροι a και b συγκλίνουν στις πραγματικές τιμές τους, καθώς και το σφάλμα στο 0, αλλά με αρκετές ταλαντώσεις όπως είναι λογικό, εξαιτίας του θορύβου.
- ✓ Στη μικτή δομή η παράμετρος b και το σφάλμα συγκλίνουν με περισσότερες ταλαντώσεις, ωστόσο η παράμετρος a φτάνει κοντά, αλλά δεν αγγίζει την πραγματική της τιμή.

Η αιτία του φαινομένου έγκειται στις εξής μαθηματικές εξισώσεις :

Στη μικτή δομή έχουμε :

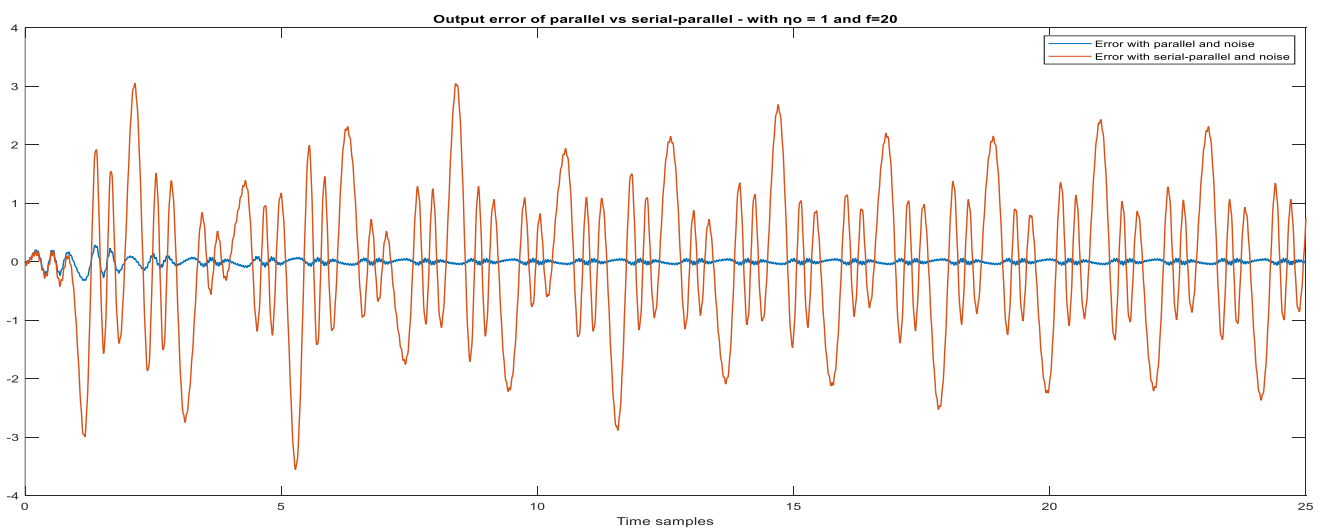
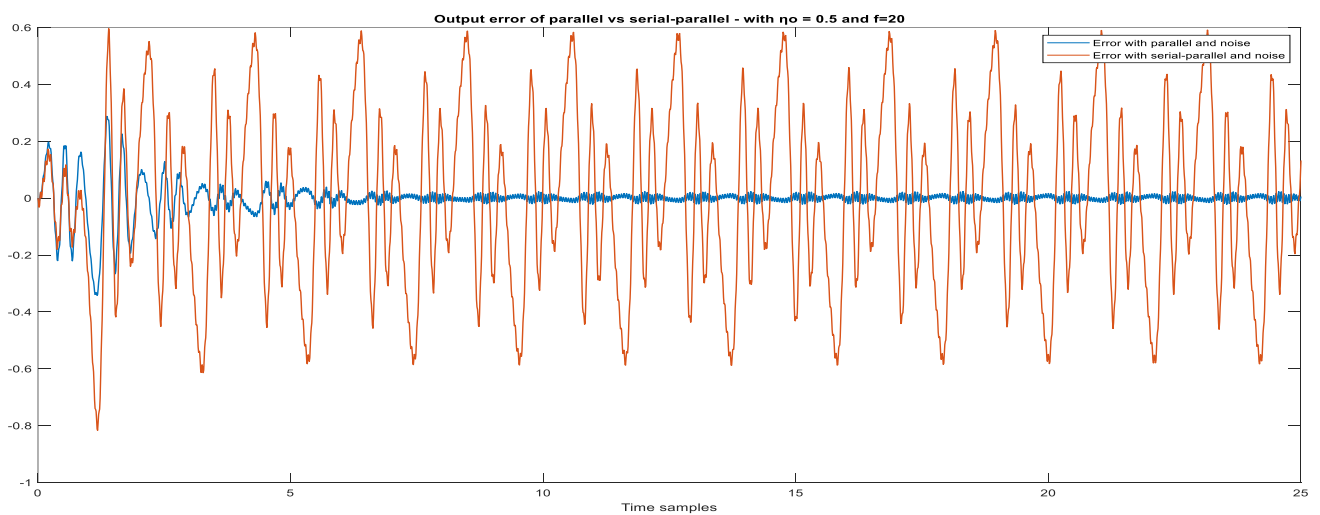
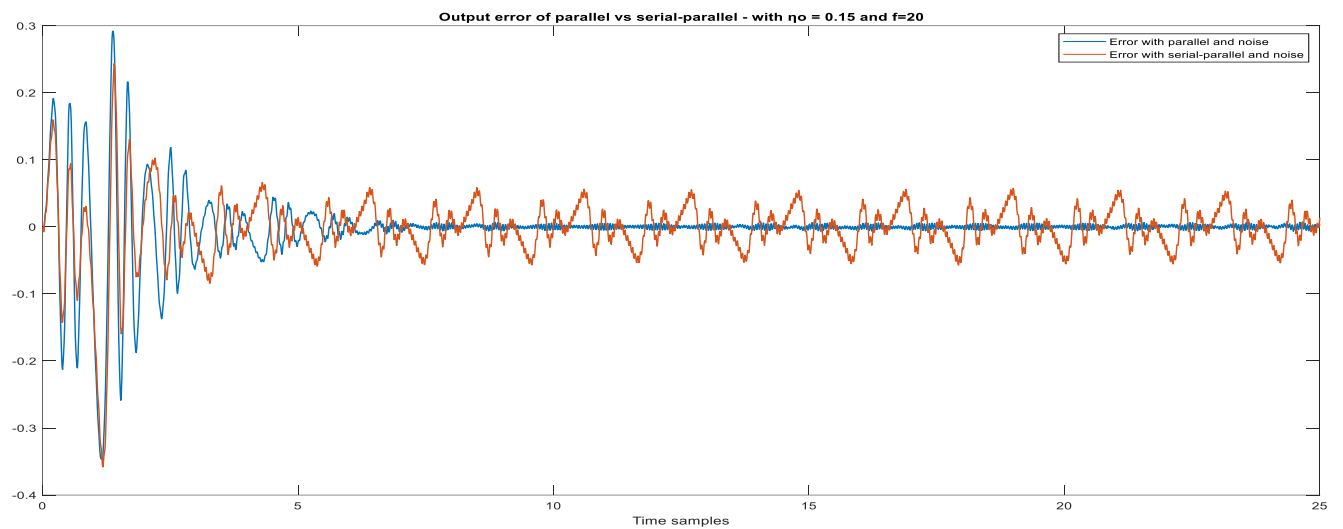
$$\dot{\hat{a}} = -\gamma_1 e \hat{x} = +\gamma_1 x \hat{x} - \gamma_1 \hat{x}^2$$

Ενώ στην παράλληλη δομή έχουμε :

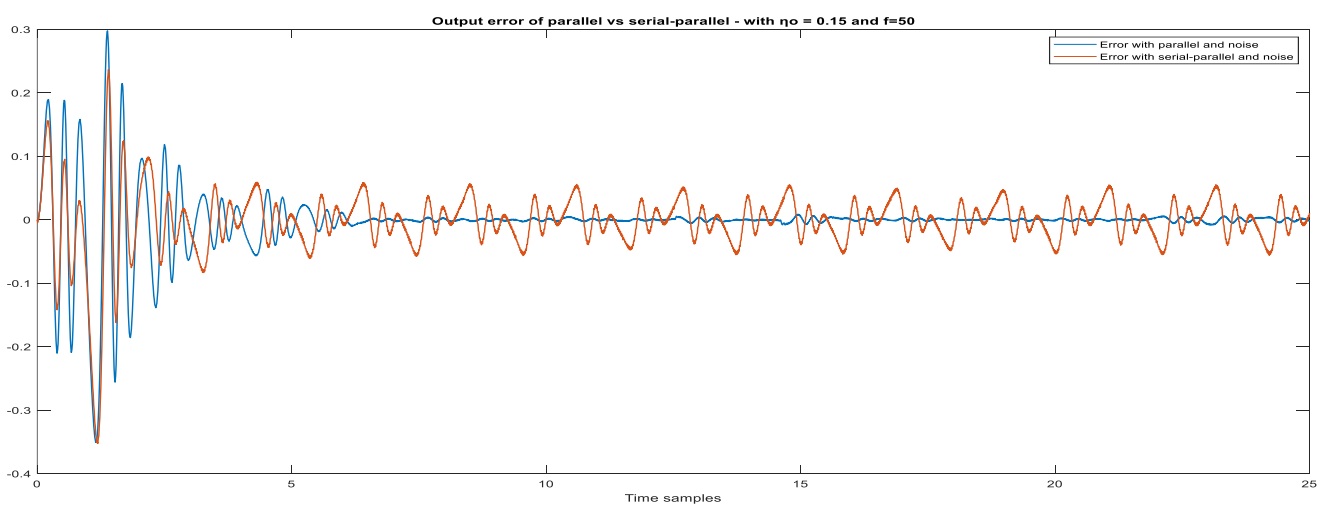
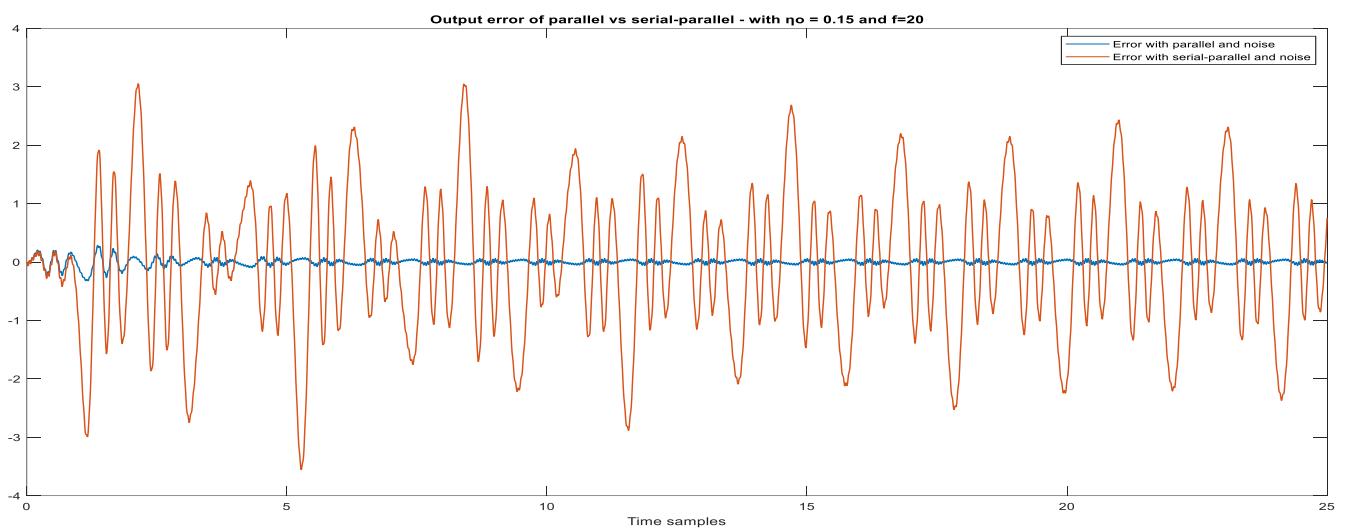
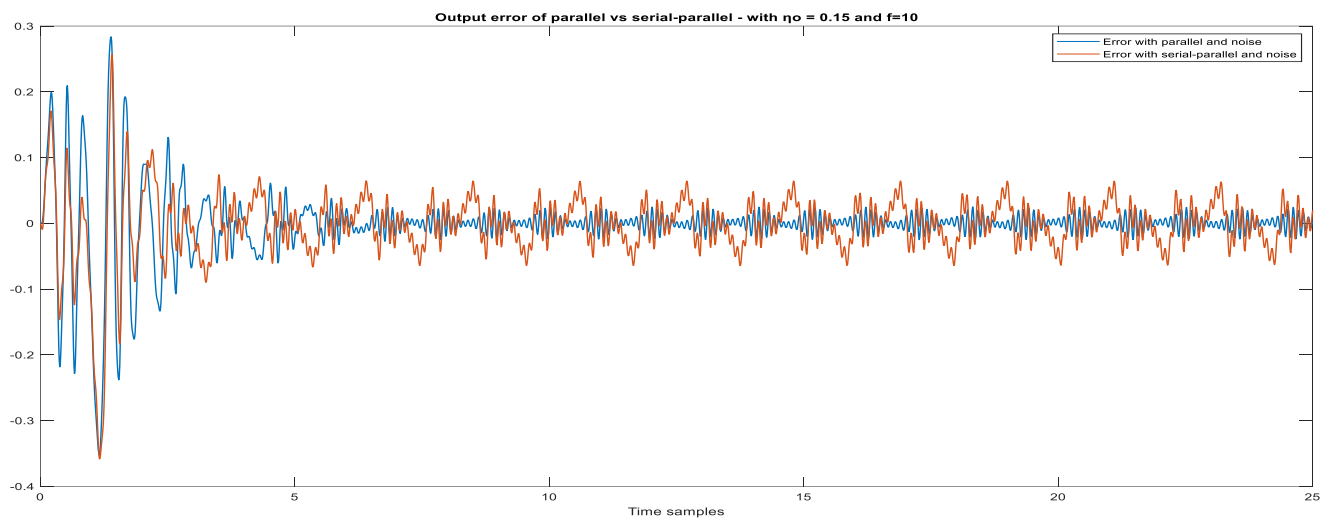
$$\dot{\hat{a}} = -\gamma_1 e \hat{x} = -\gamma_1 x \hat{x} + \gamma_1 \hat{x}^2$$

Επομένως επειδή στην παράλληλη δομή έχουμε το $+\hat{x}^2$, η ίδια είναι πιο ανθεκτική στο θόρυβο, συγκριτικά με τη μικτή.

Συνεχίσαμε με της μετρήσεις για αυξημένο η_0 και τρέξαμε την προσομοίωση για $\eta_0 = 0.5$, 1 και βρήκαμε τα εξής γραφήματα :



Σχετικά με τη διακύμανση της συχνότητας κάναμε μετρήσεις για $f=10,20,50$ και βρήκαμε τα εξής γραφήματα :



Συμπεράσματα :

- ✓ Όσον αυξάνεται το πλάτος η_0 τόσο μεγαλώνει η επίδραση του θορύβου στα δεδομένα στην μικτή μέθοδο, λογικό αφού στην ουσία έχουμε «περισσότερο» θόρυβο και αυτή η μέθοδος εν αντιθέσει με την παράλληλη δεν είναι ανθεκτική στο θόρυβο.
- ✓ Όσο αυξάνεται η συχνότητα f , η επίδραση του θορύβου κατανέμεται «καλύτερα» στα δεδομένα με αποτέλεσμα να βελτιώνεται αρκετά η ποιότητα των αποτελεσμάτων και να εμφανίζονται μικρότερα σφάλματα στην μικτή μέθοδο, ενώ στην παράλληλη δεν προσδίδει κάποια ουσιαστική διαφορά στις μετρήσεις μας.

3^ο Θέμα

Στο 3^ο θέμα θεωρούμε το σύστημα δεύτερης τάξης :

$$\dot{x} = \begin{bmatrix} a_{11} & a_{12} \\ a_{21} & a_{22} \end{bmatrix} x + \begin{bmatrix} b_1 \\ b_2 \end{bmatrix} u, \quad x(0) = \begin{bmatrix} 0 \\ 0 \end{bmatrix}$$

Όπου x οι καταστάσεις, $u = 10\sin(2t) + 5\sin(7.5t)$ είναι η είσοδος και $a_{11} = -0.25$, $a_{12} = 3$, $a_{21} = -5$, $a_{22} = -1$, $b_1 = 1$, $b_2 = 2.2$ σταθερές άγνωστες παράμετροι.

Έστω :

$$A = \begin{bmatrix} a_{11} & a_{12} \\ a_{21} & a_{22} \end{bmatrix} \quad \text{και} \quad B = \begin{bmatrix} b_1 \\ b_2 \end{bmatrix}$$

Θέλουμε να σχεδιάσουμε έναν εκτιμητή Lyapunov, για τις άγνωστες παραμέτρους με τη μέθοδο παράλληλης δομής. Επομένως το σύστημα αναγνώρισης που έχουμε είναι :

$$\hat{\dot{x}} = \hat{A} \hat{x} + \hat{B} u$$

Όπου \hat{x} είναι η εκτίμηση της εξόδου του πραγματικού συστήματος και \hat{A} , \hat{B} οι εκτιμήσεις των πινάκων A και B αντίστοιχα.

Ορίζουμε το σφάλμα αναγνώρισης :

$$e = x - \hat{x}$$

Και γνωρίζοντας πως το σύστημά μας είναι γραμμικό και η είσοδος είναι φραγμένη.

Οπότε μπορούμε να εκτιμήσουμε τους πίνακες A και B χρησιμοποιώντας τις εξισώσεις του 2^{ου} θέματος.

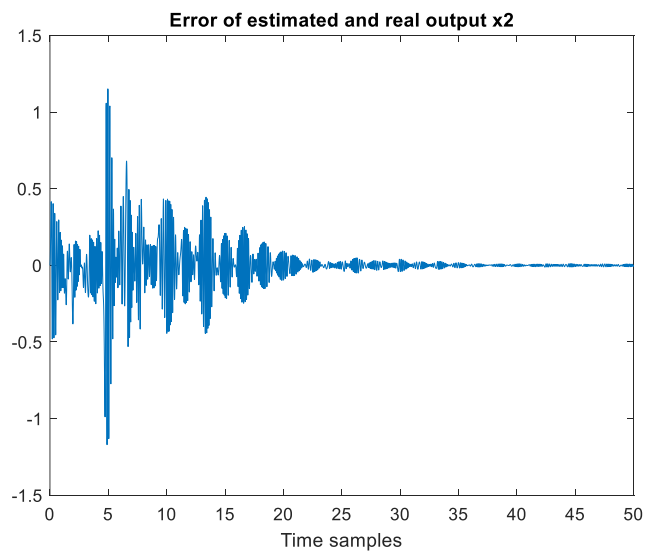
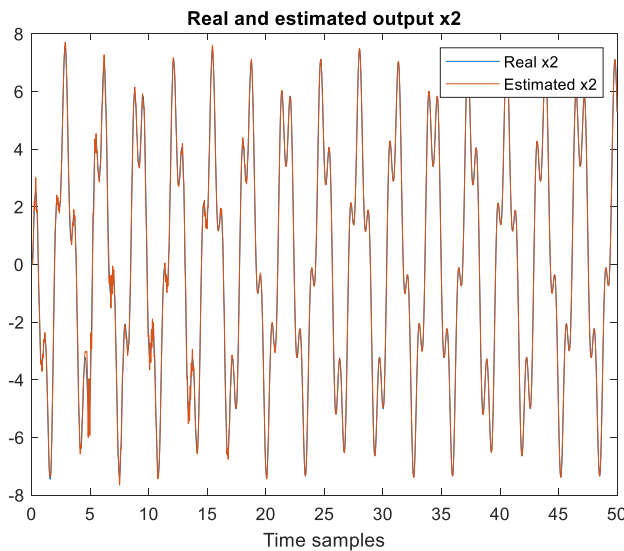
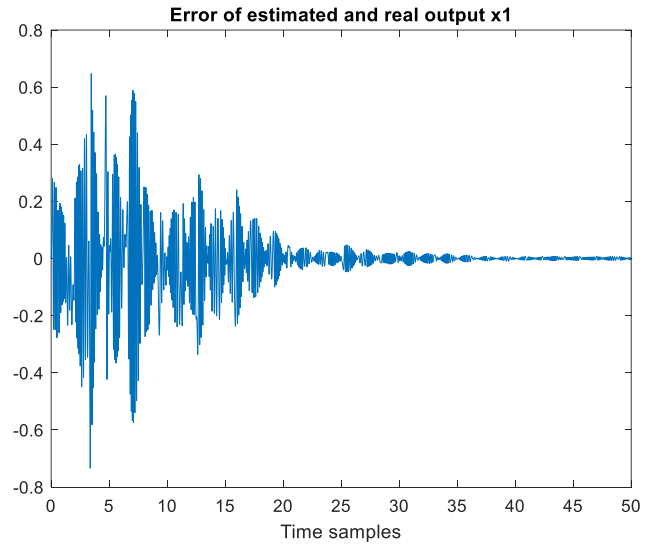
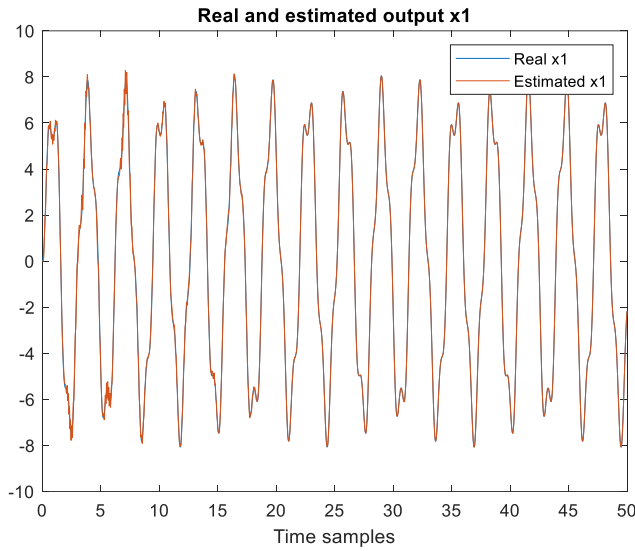
Οπότε καταλήγουμε :

$$\hat{\mathbf{A}} = \gamma \mathbf{e} \hat{\mathbf{x}}^T = -\gamma \begin{pmatrix} (x_1 - \hat{x}_1) \hat{x}_1 & (x_1 - \hat{x}_1) \hat{x}_2 \\ (x_2 - \hat{x}_2) \hat{x}_1 & (x_2 - \hat{x}_2) \hat{x}_2 \end{pmatrix}$$

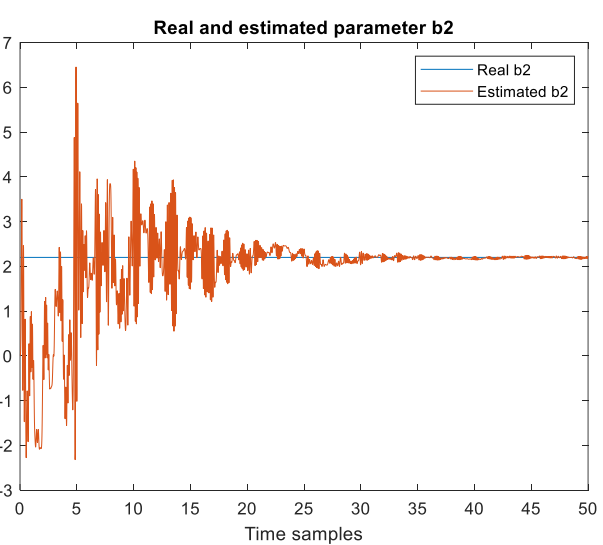
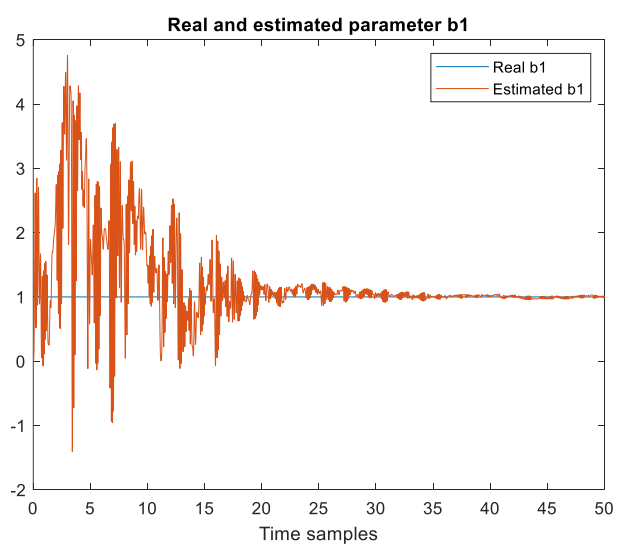
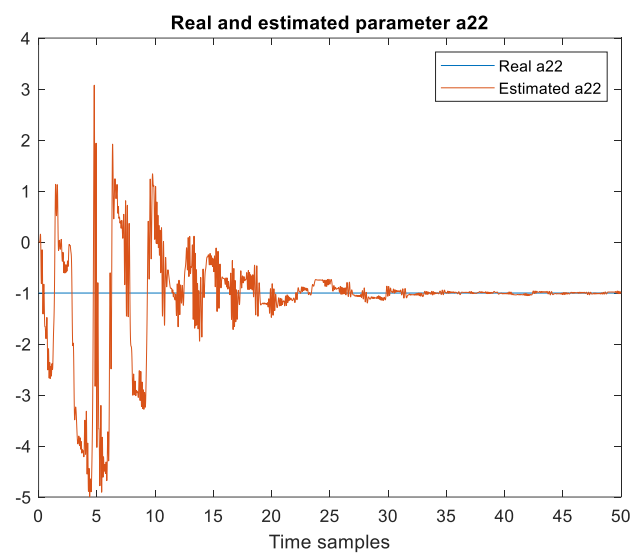
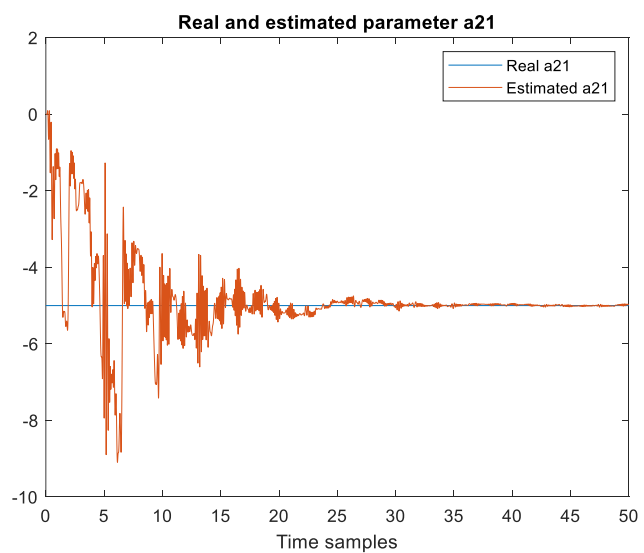
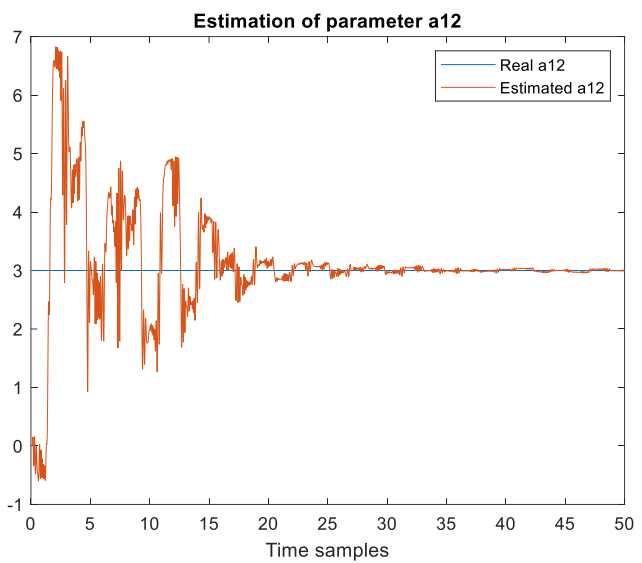
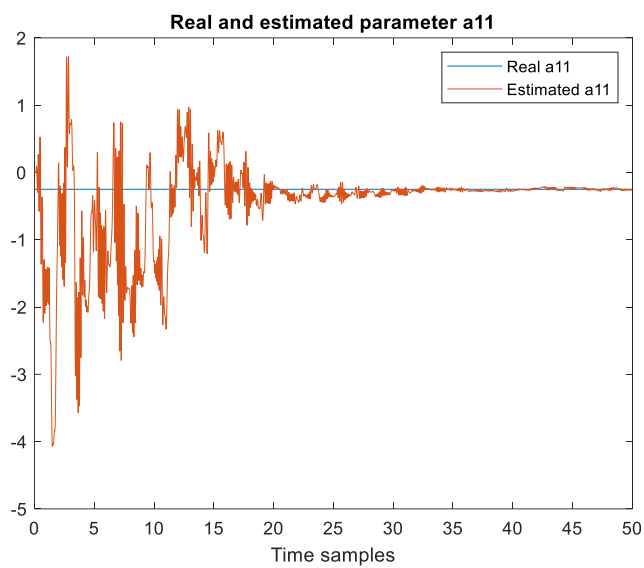
$$\hat{\mathbf{B}} = \gamma \mathbf{e} \mathbf{u} = \gamma \begin{pmatrix} (x_1 - \hat{x}_1) \\ (x_2 - \hat{x}_2) \end{pmatrix} \mathbf{u}$$

Οπότε με βάση τα παραπάνω, καταλήγουμε στα εξής γραφήματα για $\gamma = 20$ (μετά από δοκιμές) και με όλες τις αρχικές τιμές των παραμέτρων (a_{11} , a_{12} , a_{21} , a_{22} , b_1 , b_2 , x_1 , x_2 , \hat{x}_1 , \hat{x}_2) να ισούνται με 0:

Για την έξοδο έχουμε :



Για τον πίνακα Α και Β έχουμε :



Συμπεράσματα :

- ✓ Όλες οι παράμετροι φτάνουν στις πραγματικές τους τιμές αλλά όχι σε τόσο μικρό χρονικό διάστημα. Το σύστημα έρχεται σε ισορροπία στα 30s περίπου.
- ✓ Οι ταλαντώσεις εξαλείφονται σε μεγάλο βαθμό μετά τα 30s.